

НОВЫЕ НЕЛИНЕЙНЫЕ ДИНАМИЧЕСКИЕ
ЭФФЕКТЫ В АНТИФЕРРОМАГНЕТИКАХ

А. К. Звездин, А. А. Мухин

УДК 538.27

Показано, что в легкоплоскостных антиферро-
магнетиках при быстром нарастании (спаде) внеш-
него поля, перпендикулярного легкой плоскости,
происходит вращение вектора антиферромагнетизма
в этой плоскости вокруг поля. Определены усло-
вия реализации данного явления.

I. Уравнения Ландау - Лифшица для двухподрешеточного анти-
ферромагнетика с учетом диссипации имеют следующий вид:

$$\dot{\vec{M}}_i = -\gamma [\vec{M}_i, \vec{H}_i] + \frac{\alpha}{M_0} [\vec{M}_i, \dot{\vec{M}}_i], \quad i = 1, 2, \quad (1)$$

где \vec{H}_i - эффективное поле, действующее на i -тую подрешетку.
Выделяя в термодинамическом потенциале (ТП) системы слагаемые,
зависящие от полного магнитного момента $\vec{m} = (\vec{M}_1 + \vec{M}_2)/2M_0$,
представим его в изотропном по \vec{m} приближении в следующем
виде

$$F = \frac{1}{2} \Delta m^2 + \frac{1}{2} \sum_{i,k} \alpha_{ik} \frac{\partial \vec{m}}{\partial x_i} \frac{\partial \vec{m}}{\partial x_k} - M_0 \vec{m} [\vec{H} + \vec{H}_D(\vec{I})] + F'(\vec{I}, \frac{\partial \vec{I}}{\partial x_1}), \quad (2)$$

где \vec{H} - внешнее поле, $\vec{H}_D(\vec{I})$ - поле Дзялошинского, $\vec{I} = (\vec{M}_1 -$
 $- \vec{M}_2)/2M_0$, $F'(\vec{I}, \frac{\partial \vec{I}}{\partial x_1})$ - не зависящая от \vec{m} часть ТП,

M_0 - намагниченность насыщения одной подрешетки. При опреде-
ленных условиях (см. ниже) с учетом $\vec{m}\vec{I} = 0$, $\vec{I}^2 = 1 - \vec{m}^2 \approx 1$, урав-
нения (1) можно упростить и свести к уравнению для вектора

антиферромагнетизма \bar{I} , выразив $\dot{\bar{m}}$ через $\dot{\bar{I}}^{(1)}$,

$$\dot{\bar{m}} = \frac{1}{2N_E} \{ \dot{\bar{H}}_t - \bar{I}(\dot{\bar{H}}_t, \bar{I}) - [\bar{I}, \dot{\bar{I}}] / \gamma \}, \quad (3)$$

$$\frac{\partial}{\partial t} [\bar{I}, \dot{\bar{I}}] = \gamma [\dot{\bar{H}}_t - \bar{I}(\dot{\bar{H}}_t, \bar{I})] - 2\gamma \dot{\bar{I}}(\dot{\bar{H}}_t, \bar{I}) - \gamma \sum_i [\bar{I}, \partial \bar{H}_t^i / \partial \bar{I}] [\bar{I}, \dot{\bar{I}}]_i + \gamma \omega_E [\bar{I}, \dot{\bar{H}}_1] - \alpha \omega_E [\bar{I}, \dot{\bar{I}}], \quad (4)$$

где $\dot{\bar{H}}_t = \dot{\bar{H}} + \dot{\bar{H}}_D(\bar{I})$, $N_E = A/2M_0$, $\omega_E = 2\gamma N_E$, $\dot{\bar{H}}_1 = -(\delta F / \delta \bar{I}) / M_0$.
При этом

$$F(\bar{I}, \frac{\partial \bar{I}}{\partial x_i}) = -\frac{1}{2} \frac{M_0 [\dot{\bar{H}}_t^2 - (\dot{\bar{H}}_t \bar{I})^2]}{2N_E} + F'(\bar{I}, \frac{\partial \bar{I}}{\partial x_i}). \quad (5)$$

Уравнения (3), (4) справедливы в наименьшем приближении по малым параметрам $(a_0/\Delta)^2$, $\alpha(a_0/\Delta_0)$ и $|\dot{\bar{H}}_1|/2N_E$, где a_0 - величина порядка межатомного расстояния ($a_0 \sim 10^{-8}$ см), Δ - толщина движущейся доменной границы, $\dot{\bar{H}}_1 = -(\delta F' / \delta \bar{I}) / M_0$.

Уравнения (4) можно рассматривать как уравнения Эйлера - Лагранжа, для которых функция Лагранжа и диссипативная функция имеют вид ²⁾:

$$L = \frac{1}{2} \left(\frac{M_0}{\gamma \omega_E} \right) \dot{\bar{I}}^2 - \frac{M_0}{\omega_E} \dot{\bar{H}}_t [\bar{I}, \dot{\bar{I}}] - F(\bar{I}, \frac{\partial \bar{I}}{\partial x_i}), \quad (6)$$

$$R = (\alpha M_0 / 2\gamma) \dot{\bar{I}}^2. \quad (7)$$

2. Интересной особенностью уравнения (4) является наличие в нем производной от внешнего поля по времени $\dot{\bar{H}}$, которая может привести к некоторым новым физическим эффектам. Для выяснения этого вопроса рассмотрим простейшую физическую ситуацию: легкоплоскостной антиферромагнетик, находящийся во внешнем

¹⁾ Подобная процедура была использована в работе И. В. Барьяхтара и Б. А. Иванова /1/.

²⁾ Другим способом функция Лагранжа подобная (6) получена в работе /2/ для частного случая $\dot{\bar{H}}_D = [\dot{\bar{I}}, \bar{I}]$.

поле, направленном перпендикулярно легкой плоскости (ЛП) и изменяющемся во времени по линейному закону. Рассмотрим для определенности легкосоосную антиферромагнетик гексагональной симметрии (типа CsMnF_3) или ромбоэдрической симметрии (типа MnCO_3 , FeVO_3). Переходя в сферическую систему координат ($l_x = \sin\theta\cos\varphi$, $l_y = \sin\theta\sin\varphi$, $l_z = \cos\theta$), легко показать, что $\theta = \pi/2$ является точным решением уравнения (4) ³⁾. Лагранжиан и диссипативная функция системы в этом случае равны

$$L = \frac{1}{2} \frac{M_0}{\gamma\omega_E} \dot{\varphi}^2 - \frac{M_0}{\omega_E} (H_z + H_D \cos 3\varphi) \dot{\varphi} + K_{ef} \cos 6\varphi + m_0 H_z \cos 3\varphi, \quad (8)$$

$$R = \frac{\alpha M_0}{2\gamma} \dot{\varphi}^2, \quad (9)$$

где H_D — поле Дзялошинского, перпендикулярное ЛП, $m_0 = M_0 H_D / 2H_E$, $K_{ef} > 0$ — эффективная константа анизотропии в ЛП. В результате уравнение движения для φ есть

$$\ddot{\varphi} + \frac{1}{\tau} \dot{\varphi} + \xi \sin 3\varphi = \gamma \dot{H} (1 - \eta \sin 6\varphi), \quad (10)$$

где $\tau = 1/\alpha\omega_E$, $\xi = 3m_0\omega_E\dot{H}/M_0$, $\eta = \omega_E H_A / \dot{H}$, $H_A = 6K_{ef}/M_0$, $\dot{H} \equiv \dot{H}_z$. Если поле Дзялошинского H_D , направленное перпендикулярно ЛП, отсутствует (или очень мало), то уравнение (10) представляет собой уравнение математического маятника, на который действует момент внешней силы $\gamma\dot{H}$. Ясно, что при достаточно большой величине такого момента возможно вращение маятника, а в нашем случае — вращение вектора антиферромагнетизма в легкой плоскости вокруг оси z .

3. Рассмотрим случай $H_D = 0$. Пусть вращение \vec{l} близко к равномерному. В этом случае в (10) можно пренебречь $\ddot{\varphi}$. Тогда решение $\varphi(t)$ при $\eta < 1$ имеет вид

³⁾ Отметим, что в ромбоэдрических антиферромагнетиках при определенных направлениях в ЛП происходит выход \vec{l} из ЛП на небольшой угол. Этот эффект однако крайне мал и оказывает влияние на динамику \vec{l} только за счет появления дополнительной анизотропии в ЛП.

$$\varphi(t) = \frac{1}{3} \operatorname{arctg} \left[\frac{\sin(3\omega_0 t)}{\cos(3\omega_0 t - \varphi_0)} \right] + \frac{\pi n}{3}, \quad (\text{II})$$

где n определяет область изменения t следующим образом:
для четных n

$$\pi n / 6\omega_0 < t < [\pi(n+1) + 2\varphi_0] / 6\omega_0,$$

для нечетных n

$$(\pi n + 2\varphi_0) / 6\omega_0 < t < \pi(n+1) / 6\omega_0,$$

где $\omega_0 = \gamma \dot{H} \tau \cos \varphi_0$, $\varphi_0 = \arcsin \eta$.

Время, в течение которого \vec{I} совершает один оборот, есть

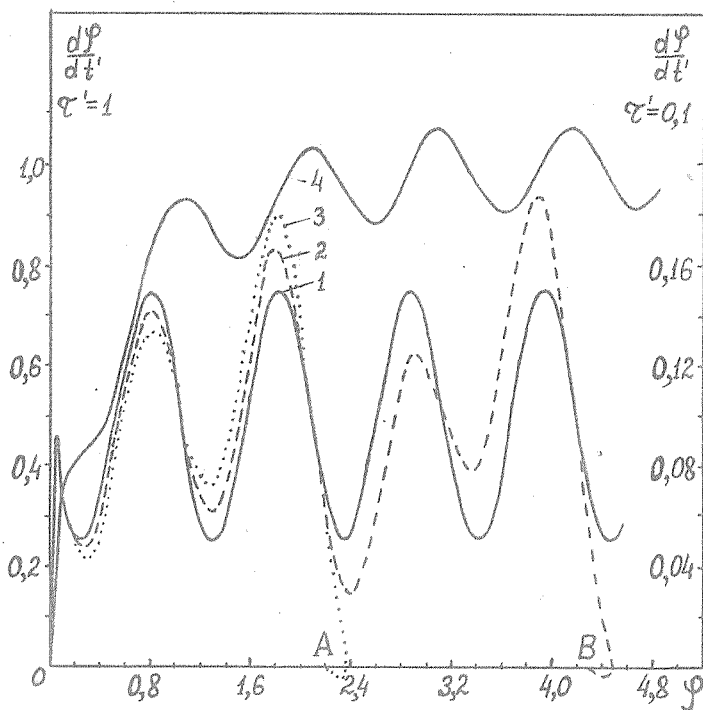
$$t_{\text{rot}} = \frac{2\pi}{\omega_0} = \frac{2\pi}{\tau \dot{H} \sqrt{1 - \eta^2}}. \quad (\text{I2})$$

При $\eta > 1$ (большая анизотропия в ЛП) вращение \vec{I} не происходит, а имеет место отклонение \vec{I} (релаксация) от начального положения на угол $\varphi_0 = \frac{1}{3} \operatorname{arctg}(\eta - \sqrt{\eta^2 - 1})$ за время $t_r \approx 1/6\gamma \dot{H} \tau \sqrt{\eta^2 - 1}$.

Приведенное решение уравнения (I0) справедливо для

$$\alpha^2 \gg \frac{3H_A \cos \varphi_0 (1 + \sin \varphi_0)}{H_E (1 - \sin \varphi_0)^2}. \quad (\text{I3})$$

4. Как показывает качественный анализ и численные расчеты, основные черты приведенного в разделе 3 решения сохраняются и при учете $\ddot{\varphi}$ в уравнении (I0). На рис. I приведены фазовые портреты уравнения (I0) в переменных $d\varphi/dt'$ и φ , где $t' = t\sqrt{\gamma \dot{H}}$, полученные путем численного решения уравнения (I0) при $\eta = 0,5$ и различных значениях $\tau' = \tau\sqrt{\gamma \dot{H}}$ и $\xi' = \xi(\gamma \dot{H})^{-3/2}$. Видно, что учет $\ddot{\varphi}$ в (I0) приводит к нестационарному характеру движения только в начальный момент. Затем вращение \vec{I} становится стационарным, причем время установления стационарного процесса увеличивается с ростом τ' (кривые 1 и 2). Кривые 3



Р и с. 1. Фазовые портреты уравнения (10) при различных значениях параметров: кривые 1,2,3 - при $\tau' = 0,1$ и $\xi' = 0; 0,01; 0,02$ соответственно, кривая 4 - при $\tau' = 1, \xi' = 0$

и 4 иллюстрируют влияние поля Дзялошинского, перпендикулярного ЛП, на характер движения \bar{I} . В этом случае в ЛП возникает дополнительная анизотропия, препятствующая вращению \bar{I} и приводящая с ростом внешнего поля к прекращению движения \bar{I} в результате его попадания в своеобразные "ловушки" (точки А и В на рис. 1).

5. Приведем некоторые оценки. Наиболее подходящие материалы для реализации данного явления - $\text{CsMnF}_3, \text{FeVO}_3, \text{MnCO}_3$. Например, в CsMnF_3 , для которого $H_E = 3,5 \cdot 10^5 \text{ Э}$, $H_A < 0,1 \text{ Э} / 3$, условие $\eta > 1$, необходимое для вращения \bar{I} , выполняется при

$H > 2\mu H_{\text{E}} H_{\text{A}} \approx 1,4 \cdot 10^{12}$ Э/с. Для FeVO_3 , имеющего $H_{\text{E}} = 10^6$ Э, $H_{\text{A}}(80 \text{ K}) \sim 6 \cdot 10^{-2}$ Э /4/, это условие выполняется при $H > 2,4 \cdot 10^{12}$ Э/с. Однако при более низких температурах, вблизи $T_{\text{R}} = 5 \text{ K}$, когда в FeVO_3 имеет место ориентационный фазовый переход в базисной плоскости /4/, критическое значение H может быть значительно меньше.

Другим интересным объектом могут быть также легкоосные антиферромагнетики, например Sr_2O_3 , находящиеся в достаточно сильном поле (большем поля опрокидывания подрешеток).

6. Возможным проявлением рассмотренного эффекта могут быть магнитооптические аномалии, пропорциональные скорости нарастания (спада) внешнего поля. Например, в Sr_2O_3 в опрокинутой фазе компоненты тензора диэлектрической проницаемости ведут себя следующим образом:

$$\frac{1}{2} (\epsilon_{xx} - \epsilon_{yy}) = a \cos 2\varphi(t),$$

$$\epsilon_{xy} = a \sin 2\varphi(t),$$

где $\varphi(t)$ определяется уравнением (10), а $a = \text{const}$.

Поступила в редакцию
27 мая 1981 г.

Л и т е р а т у р а

1. И. В. Барьяхтар, Б. А. Иванов, Препринт ДонФТИ № 4, 1980 г.
2. А. Ф. Андреев, В. И. Марченко, УФН, 130, 39 (1980).
3. Б. Я. Котюжанский, Л. А. Прозорова, Письма ЖЭТФ, 24, 171 (1976).
4. В. Д. Доросhev и др., Письма ЖЭТФ, 29, 286 (1979).